

نقش ژن *AbreAtr₁* در مکانیسم حفاظتی و بیماری‌زایی قارچ *Alternaria brassicae*

* عامل بیماری لکه برگی کلزا با استفاده از Real time PCR

ROLE OF *AbreAtr₁* GENE IN PROTECTIVE MECHANISM AND PATHOGENICITY OF *Alternaria brassicae*, THE CAUSAL AGENT OF LEAF SPOT IN CANOLA USING REAL TIME PCR

معصومه مصطفی^۱، بهرام شریف نبی^{۱**}، ابوالقاسم اسماعیلی^۲ و ناصر صفائی^۳

(تاریخ دریافت: ۱۳۸۹/۳/۳؛ تاریخ پذیرش: ۱۳۸۹/۸/۱۹)

چکیده

قارچ *Alternaria brassicae* به عنوان یکی از مهم‌ترین گونه‌های بذر زاد آلت‌ناریا و عامل بیماری لکه برگی در گیاه کلزا شناخته شده است. در فرایند بیماری‌زایی این قارچ، پیش از این ژن *AbreAtr₁* به عنوان بخشی از خوش بیماری‌زایی در قارچ *Alternaria brassicae* معرفی شده بود. حضور پروتئین‌های ABC transporter NRPS-ABC transporter معمولی شده بود. حضور این حمل کننده‌ها با توانایی رشد قارچ *A. brassicae* و شدت بیماری‌زایی این قارچ مورد توجه قرار نگرفته است. در این مطالعه به منظور تعیین این ارتباط، میزان رونویسی ژن *AbreAtr₁* با استفاده از تکنیک Real time PCR در شش قارچ نگرفته شد. سرعت رشد روزانه پرگنه در محیط کشت PDA و شدت بیماری‌زایی نیز در مورد هر جدایه مطالعه شد. جدایه‌های مختلف از لحاظ شدت بیماری‌زایی و سرعت رشد میسلیومی در سطح احتمال یک درصد دارای اختلاف معنی‌دار بودند، هم‌چنین بین جدایه‌ها از نظر میزان رونویسی ژن *AbreAtr₁* اختلاف معنی‌داری وجود داشت. در راستای بررسی نقش این ژن در مکانیسم حفاظتی قارچ *A. brassicae* در مقابل توکسین‌های تولید شده توسط این گونه بیمارگر و تأثیر آن بر میزان رشد و شدت بیماری‌زایی، همبستگی بین سرعت رشد میسلیومی قارچ، میزان بیماری‌زایی و الگوی رونویسی ژن *AbreAtr₁* در هر جدایه تعیین شد. نتایج حاصل از تعیین همبستگی در سطح احتمال یک درصد مثبت و معنی‌دار بود. چنین به نظر می‌رسد که توانایی رشد و بیماری‌زایی در قارچ *A. brassicae* تا حدودی متأثر از عملکرد ABC transporter کد شده توسط ژن *AbreAtr₁* می‌باشد به طوری که بیان بالای این ژن در قارچ *A. brassicae* آثار سمی فیتوتوکسین‌های تولید شده توسط قارچ را برای گونه بیمارگر کاهش داده، رشد و بیماری‌زایی بیشتر آن جدایه را باعث می‌شود.

واژه‌های کلیدی: *ABC transporter AbreAtr₁ Alternaria brassicae*, بیماری‌زایی، رشد میسلیومی، کلزا

*: بخشی از پایان نامه کارشناسی ارشد نگارنده اول، ارائه شده به دانشکده کشاورزی، دانشگاه صنعتی اصفهان

**: مسئول مکاتبات، پست الکترونیکی: sharifna@cc.iut.ac.ir

۱. به ترتیب دانشجوی سابق کارشناسی ارشد و دانشیار بیماری‌شناسی گیاهی، دانشکده کشاورزی، دانشگاه صنعتی اصفهان

۲. استادیار بیوتکنولوژی، دانشکده علوم، دانشگاه اصفهان

۳. دانشیار بیماری‌شناسی گیاهی، دانشکده کشاورزی، دانشگاه تربیت مدرس، تهران

مقدمه

سلولی از قبیل میتوکندری و شبکه اندوپلاسمیک نیز به اثبات رسیده است (Amiri *et al.* 1999, Gentner *et al.* 1998). Guillemette *et al.* (2004) با گیلمت و همکاران (Guillemette *et al.* 2004) با بررسی کتابخانه ژنومی این قارچ یک ژن سنتز کننده پپتیدهای غیر ریبوزومی (NRPS) به نام *AbrePsy* را شناسایی کردند. این ژن در سنتز متابولیت‌های پپتیدی سمعی مانند انواع فیتوتوکسین‌ها نقش دارد. در مجاورت این ژن، ژن *AbreAtr*₁ مشاهده شده است که پروتئینی با ساختار TMD₄-TMD₆-NBF₂ و متعلق به خانواده پروتئینی ABC transporter را کد می‌کند. این خانواده شامل طیف وسیعی از پروتئین‌های انتقال دهنده مرتبط با غشاء است (Higgins 2001). ABC ترانسپورترها به عنوان پمپ‌های بیولوژیکی عمل کرده و به منظور حذف ترکیبات سمی از سیتوپلاسم، به طور مستقیم با پیش ماده‌ها برهم‌کنش می‌کنند. مدارک اخیر نشان می‌دهد که تشخیص و دفع عوامل سمی، قبل از این که غلظت سمی ایجاد شده سیتوپلاسم را پرکند، انجام می‌شود و این عوامل سمی از طریق غشاء به فضاهای خارج سلولی منتقل می‌شوند. بر همین اساس، ABC ترانسپورترها به عنوان پمپ‌های تمیز کننده غشائی آب گریز شناخته شده اند به طوری که غلظت‌های پایین پیش ماده‌هایی از قبیل آکالوئیدها، استروئید، استرونول، قند و همچنین ترکیبات ساختگی از قبیل انواع قارچ کش‌ها و داروها قادر به فعال کردن مکانیسم‌های دفاعی سلول و القای این پمپ‌ها هستند (Stergiopoulos *et al.* 2002)

در قارچ‌های بیمارگر گیاهی، این حمل کننده‌ها به دلیل حفاظت قارچ در مقابل ترکیبات دفاعی گیاه میزان شامل فیتوآلکسین‌ها و همچنین به علت وساطت در ترشح فیتوتوکسین‌ها از گونه توکسین‌زا، تعیین کننده‌های مهم بیماری‌زایی در گیاه میزان شناخته شده‌اند. اعتقاد بر این

بیماری لکه برگی آلترناریاسایی یکی از مهم‌ترین و پرخسارترین بیماری‌های قارچی گیاهان خانواده چلیپائیان مانند کلزا (*B. campestris* L., *Brassica napus* L.) در سراسر جهان است که همه ساله تولید این گیاهان را از نظر کمی و کیفی تحت تأثیر قرار می‌دهد. قارچ *Alternaria brassicace* گونه‌های بذر زاد آلترناریا و عامل بیماری لکه برگی در گیاه کلزا شناخته شده است (Chucharek 2000) که به طور معمول باعث تخریب بافت میزان و تشکیل زخم‌های نکروتیک می‌گردد. نواحی نکروز شده اغلب توسط هاله زرد رنگ احاطه می‌شود لذا علائم ایجاد شده توسط این گونه بیمارگر اغلب به صورت دوایر متحدد مرکز روی برگ، غلاف و ساقه‌های کلزا قابل مشاهده است (Agarwal *et al.* 1997). این قارچ، چهار فیتوتوکسین دپسی پپتید (Depsi peptid) حلقوی متعلق به خانواده‌ای از ترکیبات با نام Destruxin را تولید می‌کند (Ayer & Pena-Rodriguez 1987) B فیتوتوکسین اصلی تولید شده توسط این قارچ است (Parada *et al.* 2007) که برای تعدادی از گیاهان سمی بوده و علائم کلروز و نکروز را شیوه به عامل بیماری در گیاه ایجاد می‌کند (Pedras *et al.* 2002). تصور می‌رود که این توکسین‌ها علاوه بر ایجاد بیماری در گیاه میزان برای گونه تولید کننده نیز سمی بوده و فعالیت‌های فیزیولوژیکی از قبیل رشد قارچ را نیز تحت تأثیر قرار می‌دهند (De Waard 1997). تاکنون طیف وسیعی از فعالیت‌های بیولوژیکی شامل اثرات ضد باکتریایی، ضد ویروسی و نماتود کشی در مورد این ترکیبات شناسایی شده است (Theodoulou 2002, Giulietti *et al.* 2001, Pedras *et al.* 2001). آثار سیتوتوکسیکی این ترکیبات نیز روی چندین اندامک

شدند. قطر پرگنه هر روز اندازه‌گیری شد و در نهایت سرعت رشد شعاعی روزانه پرگنه‌ها برای هر جدایه به دست آمد و مورد مقایسه آماری قرار گرفت.

انجام آزمون گلخانه‌ای

بیماری‌زایی جدایه‌ها در قالب طرح کاملاً تصادفی با سه تکرار در شرایط گلخانه روی رقم Hayola401 از گیاهچه‌های ۴۰ روزه *Brassica napus* انجام شد.

تعداد ۲۴ عدد گلدان، از هر گلدان یک گیاهچه و از هر گیاهچه دو برگ انتخاب شد. قرص‌های میسلیومی پنج میلی‌متری از حاشیه در حال رشد پرگنه‌های ۱۰ روزه جدایه‌های مورد نظر روی دو زخم ایجاد شده توسط سوزن سترون در هر برگ قرار داده شد. به همین ترتیب برای شاهد بلوک‌های آگار روی زخم‌ها قرار گرفت. قبل از قرار دادن بلوک‌ها سطح برگ‌های زخمی با توئین ۲۰ مه پاشی شد. بعد از قراردادن قرص‌ها روی هر برگ زخمی، مجدداً سطح برگ مرطوب گردید و با پوشش پلاستیکی مرطوب پوشانده شد. بعد از ۲۴ ساعت پوشش‌ها برداشته شد و دمای گلخانه در ۲۴°C تنظیم گردید. علاوه بر بیماری بعد از سه الی ۱۰ روز بررسی شد. قطر لکه‌ها در روز سوم بعد از مایهزنی اندازه گرفته شد، مجدداً بعد از ده روز هم قطر لکه‌ها اندازه گیری شد. پس از روز دهم، برگ‌ها جدا شدند و قطر لکه‌های مشاهده شده در دو جهت عمود بر هم از زیر سطح برگ اندازه گیری و سپس میانگین مساحت لکه‌ها در هر تکرار محاسبه شد. در نهایت شدت علائم بر حسب درصد سطح بافت آلوده بر حسب سانتی‌متر مربع نسبت به کل سطح برگ محاسبه شد.

ردیابی ژن *AbreAtr_I*

به منظور بررسی وجود ژن *AbreAtr_I* در جدایه‌های مورد

است که حضور این پروتئین‌ها در قارچ‌ها از تجمع ترکیبات سمی که توسط آنها تولید می‌شود جلوگیری کرده و بنابر این وظیفه فیزیولوژیکی این انتقال دهنده‌ها حفاظت قارچ در مقابل ترکیبات سمی مانند انواع توکسین است (Stergiopoulos *et al.* 2002).

با وجود این که پیش از این اختلاف بیماری‌زایی در میان جدایه‌های *A. brassicae* توسط موکادان و دشموک گزارش شده است (Mukadan & Deshmukh 1977) ولی تاکنون نقش ABC ترانسپورتر کد شده توسط ژن *AbreAtr_I* در میزان بروز این تفاوت وهم‌چنین در مکانیسم حفاظتی قارچ *A. brassicae* در مقابل توکسین‌های این گونه بیمارگر مورد توجه قرار نگرفته است. بدین لحاظ انجام آزمایش‌هایی از طریق کمی کردن آنالیز سطح بیان Real time PCR ژن‌های کد کننده این پروتئین‌ها به وسیله و مقایسه آن با شدت بیماری زایی و نحوه رشد میسلیومی جدایه‌های این قارچ ممکن است اطلاعات مهمی در مورد مکانیسم عمل و وظیفه این ترانسپورتر در نحوه بروز صفات فنوتیپی مانند بیماری‌زایی و رشد قارچ در اختیار بگذارد.

روش بررسی

جدایه‌های مورد استفاده

برای انجام این آزمون از شش جدایه مربوط به گونه جداسازی شده از مناطق مختلف استان *A. brassicae* گلستان (Nourani *et al.* 2008) استفاده شد (جدول ۱).

بررسی الگوی رشدی جدایه‌ها

به منظور اندازه گیری سرعت رشد پرگنه، جدایه‌ها داخل ظروف پتروی حاوی محیط کشت PDA کشت داده شده و به مدت دو هفته در دمای ۲۸°C در انکوباتور نگهداری

جدول ۱. مقایسه میانگین‌های میزان رونویسی ژن *AbreAtr_I* شدت بیماری‌زایی و سرعت رشد روزانه پرگنه در جدایه‌های *Alternaria brassicae*

Table 1. Means of amount of pathogenicity amount of *AbreAtr_I*, transcription and daily growth rate in six isolates of *Alternaria brassicae*

Daily growth rate سرعت رشد روزانه	Amount of pathogenicity شدت بیماری‌زایی	Amount of <i>AbreAtr_I</i> transcription میزان رونویسی ژن <i>Abre Atr_I</i>	Isolate کد جدایه
2.98 a	0.29 a	6.63 a	H₂
2.90 a	0.25 b	3.95 b	H₈
2.45 b	0.18 c	0.3 d	K₄
2.40 b	0.16 d	0.48 d	K₁₀
2.81 a	0.16 d	1 c	K₅
2.11 c	0.07 e	0.14 d	K₇

میانگین‌ها در هر ستون با حروف مختلف، در سطح احتمال آماری ۱٪ دارای اختلاف معنی دار می‌باشند.

Numbers with different letter in each column are significantly different at 1% level by LSD test.

برای ۱۵ ثانیه، ۶۰ °C به مدت ۱ دقیقه و ۷۲ °C برای ۱ دقیقه انجام گرفت. در پایان یک مرحله گسترش نهایی در ۷۲ °C به مدت ۱۰ دقیقه در نظر گرفته شد. محصول PCR پس از مخلوط کردن با بافر بارگذاری در ژل اکریل آمید ۱۲ درصد به مدت ۴ ساعت و با ولتاژ ثابت ۲۰۰ در بافر (X) TBE الکتروفورز شد.

بررسی میزان رونویسی ژن *AbreAtr_I*

۱- استخراج RNA کل قارچ

جهت استخراج RNA کل قارچی، میسليوم‌های رشد یافته در محیط کشت مایع سیب زمینی-گلوکز (PGB)، پس از ۱۴ روز، شستشو و آب‌گیری شده و بلا فاصله در یک هاون چینی سترون و سرد به کمک نیتروژن مایع پودر گردید. استخراج RNA کل قارچی با استفاده از (Plus RNX™) (CinnaGen, Iran) طبق روش توصیه شده شرکت سازنده (CinnaGen, Iran)

نظر، استخراج DNA با استفاده از روش ریادر و برودا انجام گرفت (Reader & Broda 1985) و ۲/۵ میکرولیتر (۳۶۵ نانوگرم) از DNA حاصل به عنوان الگو در واکنش PCR به کار رفت.

واکنش PCR در حجم ۲۵ میکرولیتر شامل ۲/۵ میکرولیتر بافر PCR (X)، ۱/۵ میلی مولار ۰/۳ MgCl₂ میکرو مولار از مخلوط dNTPs (۰/۲ میلی مولار از آغازگرهای ۵'-TCCTTCgCTCCAggTTTCC-3') AbreAtr-for و ۵'-AAgTCAAggATTgTgTCgAgCTT-3') AbreAtr- rev واحد از آنزیم Taq DNA Polymerase میکرولیتر (۳۶۵ نانوگرم) الگو و ۱۷ میکرولیتر آب مقطمر تهیه شد. واکنش در دستگاه ترموسایکلر Genius FGEN 05 TD (Genius FGEN 05 TD) با برنامه دمایی شامل یک مرحله ۱۰ دقیقه ای در ۹۵ °C و سپس ۴۰ چرخه، ۹۵ °C

مقدار RNA در این واکنش یک میکروگرم بود. مقادیر بافر DEPC water، DNase، DNase مطابق با روش توصیه شده توسط شرکت سازنده (Fermentas, Life sciences) محاسبه گردید. مقادیر محاسبه شده از بافر و RNA به لوله‌های ۲۰۰ میکرولیتری منتقل شد و حجم هر لوله به وسیله آب مقطر تیمار با DEPC به ۹ میکرولیتر رسانده شد. سپس یک میکرولیتر از DNase نیز به محلول حاضر اضافه گردید. لوله‌ها به مدت ۳۰ دقیقه در دمای ۳۷°C قرار گرفتند و پس از این مدت یک میکرولیتر از EDTA نیز به لوله‌ها اضافه شد و لوله‌ها به مدت ۱۵ دقیقه در دمای ۶۵°C قرار داده شدند.

واکنش ترانویسی معکوس- واکنش زنجیره‌ای پلیمراز (RT-PCR)

cDNA با استفاده از کیت RevertAidTM First Strand cDNA Synthesis توسط شرکت سازنده (Fermentas, Life sciences) انجام شد. به لوله‌های حاوی یک میکروگرم RNA تیمار شده با Random hexamer، یک میکرومولار از آغازگر DNase اضافه گردید و حجم نهایی توسط آب مقطر تیمار شده با DEPC به ۱۲ میکرولیتر رسانده شد. مجموعه حاضر به مدت پنج ثانیه در ۱۳۰۰۰ دور سانتریفیوژ گردید و لوله‌ها به مدت پنج دقیقه در دمای ۶۵°C و بلا فاصله پس از آن روی یخ قرار گرفتند. حجم کلی واکنش سنتز cDNA برای هر نمونه ۲۰ میکرولیتر بود و مقادیر مورد نیاز از بافر، dNTP و آنزیم ترانسکریپتاز مطابق با DNase Inhibitor.

دستور سازنده کیت محاسبه و به هر لوله اضافه گردید و لوله‌ها به مدت ۵ دقیقه در دمای ۲۵°C و پس از آن به مدت یک ساعت در دمای ۴۲°C و سپس به مدت پنج دقیقه در دمای ۷۰°C قرار داده شدند.

انجام شد. یک میلی لیتر از محلول RNX به ۵۰ تا ۱۰۰ میلی گرم از میسلیوم‌های پودر شده، اضافه شد. محلول حاصل به مدت ۱۵ ثانیه ورتكس و پس از آن به مدت پنج دقیقه در دمای اتاق نگهداری شد. به لوله‌ها ۲۰۰ میکرولیتر کلروفرم سرد اضافه و به مدت ۱۵ ثانیه به شدت با دست تکان داده شد و پس از آن به مدت پنج دقیقه روی یخ قرار داده شد. محلوت حاصل به مدت ۱۵ دقیقه در دمای ۴°C و در ۱۲۰۰۰ دور سانتریفیوژ شد. رویه بالایی جدا و به لوله‌های جدیدی منتقل گردید. معادل هم حجم از محلول به دست آمده، ایزوپروپانول سرد به نمونه‌ها اضافه شد و سه مرتبه محلوت گردید. لوله‌ها به مدت ۱۵ دقیقه روی یخ قرار داده شدند و پس از این مدت نمونه‌ها به مدت ۱۵ دقیقه و در دمای ۴°C و در ۱۲۰۰۰ دور سانتریفیوژ شدند. فاز رویی حذف و به رسوب حاصل یک میلی لیتر اتانول ۷۵ درصد سرد اضافه شد و رسوب حاصل با استفاده از ورتكس حل گردید. لوله‌ها به مدت هشت دقیقه در ۷۵۰۰۰ دور و در دمای ۴°C سانتریفیوژ شدند. رویه بالایی حذف گردید و رسوب حاصل در دمای اتاق در زیر هود قرار داده شد تا خشک شود. پس از ۳۰ دقیقه، رسوب در ۴۰ میکرولیتر آب تیمار شده با DEPC (Diethyl Pyrocarbonate) حل گردید. استخراج RNA کل از جدایه‌های مورد نظر دو مرتبه و به فاصله ۱۵ روز انجام شد. کمیت و کیفیت RNA استخراج شده با استفاده از دو روش الکتروفورز ژل آگاراز و اسپکتروفوتومتری مورد ارزیابی قرار گرفت.

Tیمار RNA با استفاده از آنزیم DNaseI, RNase-free به منظور جلوگیری از وجود آلودگی DNA به همراه RNA کل، بقایای DNA از RNA کل استخراج شده با استفاده از آنزیم DNaseI, RNase-free حذف گردید.

تحلیل نتایج آزمون‌ها از نرم افزار آماری SAS (Institute Inc. Cary, NC, USA, 2001) و برای مقایسه میانگین‌ها از آزمون LSD استفاده شد.

نتایج

بررسی الگوی رشدی جدایه‌ها

به منظور مقایسه الگوی رشدی جدایه‌های قارچ *A. brassicae* مورد بررسی، سرعت رشد شعاعی روزانه جدایه‌ها روی محیط کشت PDA محاسبه شد. جدایه‌های مختلف دارای الگوهای متفاوتی از رشد میسلیومی بودند (شکل ۱). میانگین رشد شعاعی روزانه در مورد هر جدایه نیز متفاوت بود (شکل ۲). نتایج حاصل از تجزیه و تحلیل آماری داده‌ها و مقایسه میانگین با استفاده از آزمون LSD میتواند احتمالاً متفاوت باشد. میانگین رشد پرگنه نشان داد که اختلاف معنی‌داری بین میزان رشد پرگنه جدایه‌های مختلف در سطح احتمال یک درصد وجود دارد. در بین جدایه‌ها، جدایه H_2 بیشترین و جدایه K_7 کمترین توان رشدی را نشان دادند (جدول ۱). تفاوت در سرعت رشد جدایه‌ها احتمالاً به علت تفاوت در حساسیت پایه‌ای جدایه‌های مختلف به اثر سمی توکسین‌های این قارچ است. با توجه به این که در اغلب قارچ‌های تولید کننده توکسین، حفاظت در مقابل ترکیبات سمی خارج سلولی و داخل سلولی از طریق پروتئین‌های ABC transporter (Stergiopoulos *et al* 2002) انجام می‌گیرد، این گونه انتظار می‌رود که در قارچ *A. brassicae* احتمالاً سطوح متفاوتی از بیان ژن *AbreAtr* در هر جدایه می‌تواند با این پدیده در ارتباط باشد.

مقایسه شدت بیماری‌زایی

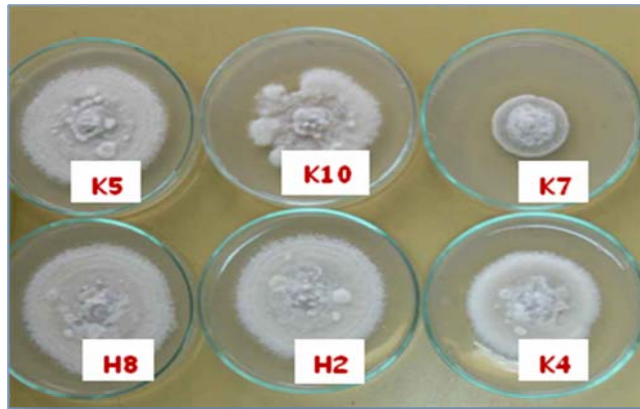
علائم ایجاد شده توسط همه جدایه‌ها در گیاهان کلزا به طور کل شامل مرکز بافت مرده بود که توسط هاله زرد

واکنش Real time PCR

به منظور بررسی میزان ترانویسی ژن *AbreAtr* واکنش Real time PCR با استفاده از کیت BioEasy SYBR Green I Real Time PCR آغازگر *AbreAtr* و یک جفت آغازگر مربوط به ژن ('5-CACAATATgAAggCAggCTgAA-3') AbreITS-for و ('5-CgCAAAGACACgggTgAAT-3') AbreITS-rev و آغازگر گرفت. پس از تعیین بهترین دمای اتصال آغازگرها به توالی هدف و غلظت مناسب cDNA، واکنش PCR در حجم ۲۵ میکرولیتر شامل دو میکرولیتر cDNA با غلظت ۱۰ نانوگرم، آغازگرها (هر یک ۰/۲ میکرومولار) ۱۲/۵ میکرولیتر (۲X SYBR Mix ۷۵ / واحد آنزیم *Taq Polymerase* ۹/۳۵ میکرولیتر آب مقطر در بار سترون انجام شد. مواد ذکر شده برای هر جدایه در شرایط سترون به لوله‌های مخصوص ۲۰۰ میکرولیتری اضافه شد. برای هر جفت آغازگر یک لوله نیز به عنوان کنترل، حاوی محلول پایه و فاقد cDNA الگو در نظر گرفته شد. سپس لوله‌ها در دستگاه ترموسایکلر (Bio-Rad Chromo 4) قرار گرفتند. شرایط چرخه‌های واکنش مطابق شرایط شرایط واکنش ریدیابی ژن بود. آزمایش‌ها در دو تکرار بیولوژیکی مرتبط با دو مرتبه استخراج RNA انجام گرفت. همچنین برای هر جدایه از قارچ در هر مرتبه از آزمایش‌ها، دو تکرار تکنیکی در نظر گرفته شد. جهت تأیید تکثیر مطلوب توالی مورد نظر و حصول اطمینان از عدم تکثیر توالی‌های غیر اختصاصی، محصول PCR در ژل اکریل آمید ۱۲ درصد به مدت ۴ ساعت الکتروفورز گردید. نتایج حاصل از این مرحله به صورت نسبی و با استفاده از روش $\Delta\Delta C_T$ مورد تجزیه و تحلیل قرار گرفت.

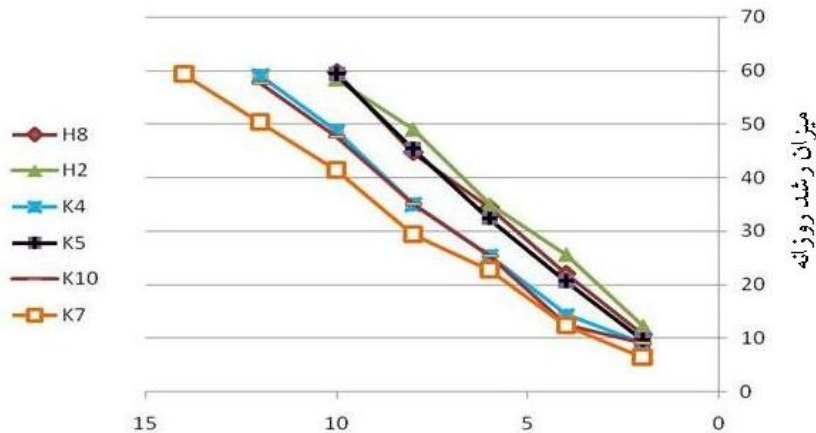
تجزیه و تحلیل آماری

تمامی آزمون‌های مربوطه در قالب طرح کاملاً تصادفی با ۳ تکرار برای هر کدام از تیمارها انجام شد. برای تجزیه و



شکل ۱. مقایسه الگوی رشدی جدایه‌های قارچ *Alternaria brassicae* رشد یافته در محیط کشت PDA و دمای ۲۵°C

Fig. 1. Comparison of growth pattern in six isolate of *Alternaria brassicae* in PDA and 25°C

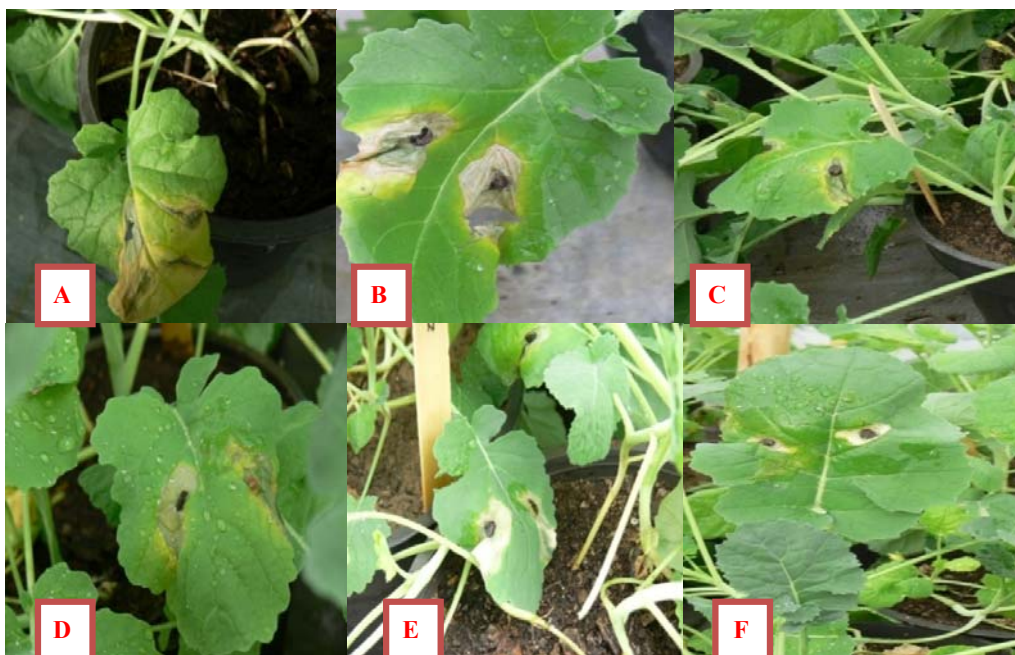


شکل ۲. مقایسه سرعت رشد شعاعی جدایه‌های گونه *Alternaria brassicae* در محیط کشت PDA و دمای ۲۵ °C

Fig. 2. Comparison growth of radial rate in *Alternaria brassicae* isolates in PDA and 25 °C

دست آمده از این آزمون می‌توان جدایه H₂ را به عنوان مهاجم‌ترین و K₇ را به عنوان ضعیف‌ترین جدایه بیماری‌زا قارچ *A. brassicae* در رقم 401 Hayola محسوب نمود. همان گونه که در پدیده بیماری‌زا این قارچ مشاهده می‌شود، با وجود این که استراتژی‌های به کار رفته توسط جدایه‌های مختلف در ایجاد بیماری لکه برگی مشابه است ولی شدت توسعه علائم مربوط به این جدایه‌ها متفاوت می‌باشد، به نظر موکادان (Mukadan & Deshmukh 1977).

رنگ احاطه شده بود ولی میزان توسعه علائم در جدایه‌های مختلف تفاوت قابل توجهی را نشان داد (شکل ۳). تجزیه و تحلیل داده‌های مربوط به درصد سطح بافت آلوه و مقایسه میانگین با استفاده از آزمون LSD نیز نشان داد که اختلاف معنی‌داری بین جدایه‌های مختلف از نظر توسعه علائم وجود دارد به طوری که بیشترین درصد توسعه علائم مربوط به جدایه H₂ و کمترین درصد به جدایه K₇ متعلق بود (جدول ۱). با توجه به اطلاعات به-



شکل ۳. مقایسه شدت بیماری‌زایی شش جدایه قارچ *Alternaria brassicae* در گیاه کلزا. A: جدایه H_2 , B: جدایه H_8 , C: جدایه K_5 , D: جدایه K_{10} , E: جدایه K_4 , F: جدایه K_7

Fig. 3. Pathogenicity comparison among six isolates of *Alternaria brassicae* in canola plant. A: H_2 , B: H_8 , C: K_5 , D: K_{10} , E: K_4 , F: K_7 .

انجام شد. طی انجام واکنش‌های PCR با استفاده از DNA هر جدایه، جفت آغازگر AbreATR قطعه ۷۰ جفت بازی را تکثیر نمود. با استفاده از نرم افزار Primer-BLAST Primer designing قطعه به بخشی از ژن *AbreAtr₁* در ژنوم قارچ *A. brassicae* مربوط است.

بررسی میزان ترانویسی ژن *AbreAtr₁*
واکنش Real time PCR در دو تکرار بیولوژیکی مرتبط با دو مرحله استخراج RNA انجام شد. جهت کاهش خطاهای تکنیکی آزمایش، از RNA مربوط به هر جدایه در هر تکرار دو مرتبه استفاده گردید. مقایسه مقادیر C_T ثبت شده برای هر جدایه در هر دو تکرار بیولوژیکی، الگوی مشابهی را نشان داد. منحنی ذوب حاصل از همه جدایه‌ها

نیز جدایه‌های *A. brassicae* که به کلزا حمله می‌کنند از نظر قدرت بیماری‌زایی متفاوت هستند که احتمالاً این تفاوت در بیماری زایی با مقدار ترشح فیتوتوکسین‌ها در ارتباط است.

ردیابی ژن *AbreAtr₁*

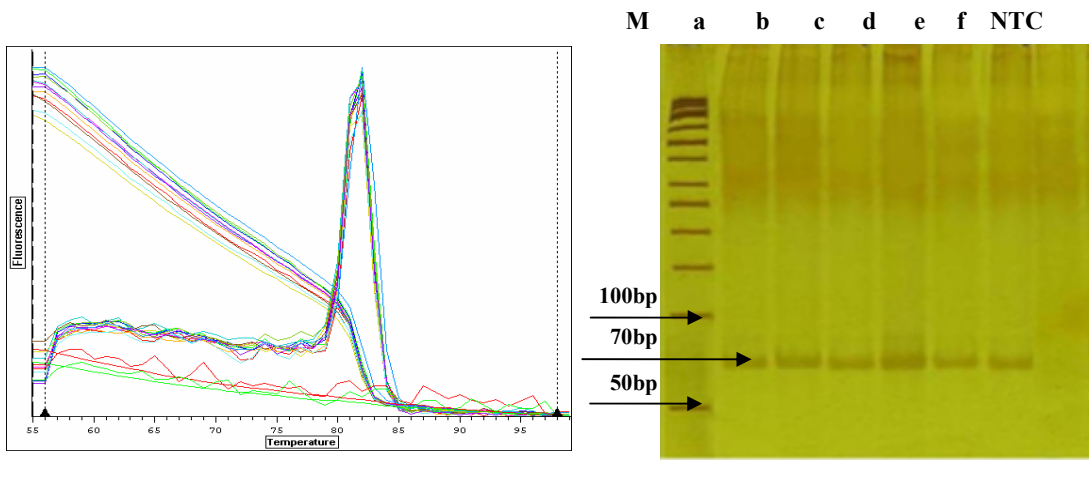
به‌منظور بررسی حضور یا عدم حضور ژن *AbreAtr₁* در جدایه‌های قارچ *A. brassicae*، واکنش PCR با استفاده از آغازگر AbreAtr₁ انجام شد. این آغازگر توسط گیلمت (۲۰۰۴) و بر مبنای توالی نوکلئوتیدی خوش بیماری‌زای NRPS-ABC transporter شده است. ژن *AbreAtr₁* بخشی از این خوش ژنی بوده و به عنوان کدکننده فاکتورهای بیماری‌زایی در قارچ *A. brassicae* مطرح است. ردیابی این ژن در جدایه‌های قارچ *A. brassicae* توسط جفت آغازگر مربوط به این ژن

فاکتورهای دخیل در بیماری‌زاوی بسیاری از قارچ‌های بیمارگر گیاهی مطرح هستند. نقش این پروتئین‌ها در بیماری‌زاوی این قارچ‌ها ممکن است با انتقال ترکیبات دفاعی گیاه و یا فاکتورهای بیماری‌زاوی قارچ در ارتباط باشد (De Waard 1997). این ترانسپورترهای غشایی از مولکول‌های سمی به عنوان پیش ماده استفاده کرده و بدین وسیله از ابانتگی آنها در میسلیوم جلوگیری می‌نمایند. تا کنون وظیفه چندین ABC transporter در بیمارگرگهای گیاهی مورد بررسی قرار گرفته است. در این راستا نقش ژن *BcatrB* در بیماری‌زاوی قارچ *Botrytis cinerea* *atrB* و *atrA* در قارچ *Penicillium Aspergilus nidulans* و ژن *ABC* در قارچ *Magnaporthe grisea digitatum* از طریق ایجاد موتانت‌های فاقد ژن هدف و مشاهده خصوصیات فنوتیپی موتانت ایجاد شده تأیید شده است (De Waard 1997, Stergiopoulos et al 2002) (Fig. 1). در قارچ *A. brassicae* نیز وظیفه این پروتئین‌ها احتمالاً انتقال پیتیدهای سمی سنتز شده توسط قارچ به خارج از سلول است. لذا احتمال می‌رود عالمی ایجاد شده توسط این قارچ در گیاه میزان بیماری‌زاوی این ژن در ارتباط باشد (Guillemette et al 2004) به طوری که نتایج این تحقیق نیز نشان داد بیشترین میزان رونویسی ژن *AbreAtr*₁ در جدایه‌های دارای سرعت رشدی بیشتر و قدرت تهاجم بالاتر حاصل شده است. هم‌چنین با توجه به همبستگی مثبت بین میزان رونویسی ژن *AbreAtr*₁ و سرعت رشد شعاعی روزانه در شش جدایه قارچ *A. brassicae* شاید بتوان این گونه تصور نمود که این ABC transporter از طریق تشخیص و دفع فیتوکسین‌ها مکانیسم دفاعی ایجاد کرده، از ابانتگی این توکسین‌ها در میسلیوم قارچ جلوگیری می‌کند و بدین وسیله قارچ را در مقابل این ترکیبات سمی محافظت می‌نماید.

نیز تأیید کننده تکثیر مطلوب توالی هدف در هر جدایه بود (شکل ۴-A). در الکتروفورز محصول PCR نیز مشاهده باند مربوط به تکثیر توالی ۷۰ جفت بازی، تأیید کننده تکثیر مطلوب توالی هدف در همه جدایه‌ها بود (شکل ۴-B).

تجزیه و تحلیل آماری نتایج مربوط به میزان رونویسی ژن *AbreAtr*₁ در شش جدایه قارچ مورد مطالعه نشان داد که بین جدایه‌ها اختلاف معناداری وجود دارد. نتایج حاصل از مقایسه میانگین نیز بیشترین میزان رونویسی این ژن را در جدایه H₂ نشان داد. ژن مورد نظر در سایر جدایه‌ها به میزان کمتری رونویسی گردید. بین میزان رونویسی این ژن در جدایه‌های K₇ و K₄ اختلاف معناداری دیده نشد (جدول ۱).

جدایه‌های مورد بررسی در این تحقیق از نظر شدت بیماری‌زاوی خصوصیات کشت (میزان رشد پرگره) و الگوی رونویسی ژن *AbreAtr*₁ تفاوت قابل توجهی را نشان دادند. گروه‌بندی جدایه‌ها نیز بر اساس مقایسه میانگین‌ها در مورد هر یک از صفات مذکور متفاوت بود. به طور کل جدایه H₂ در تمامی آزمون‌ها بیشترین و جدایه K₇ کمترین مقدار صفت مورد بررسی را نشان دادند. بنابراین به منظور تعیین رابطه بین شدت بیماری‌زاوی و الگوی رشد رویشی قارچ با میزان بیان ژن *A. brassicae* ارتباط بین الگوی رونویسی این ژن، الگوی رشد میسلیومی و شدت بیماری‌زاوی در جدایه‌های مورد مطالعه بررسی شد. از نظر آماری هم‌بستگی بین میزان رونویسی ژن *AbreAtr*₁، درصد آلودگی و سرعت رشد شعاعی روزانه در شش جدایه قارچ *A. brassicae* در سطح احتمال یک درصد مثبت و معنی‌دار بود (جدول ۲). احتمالاً در این قارچ پروتئین ABC transporter کد شده توسط ژن *AbreAtr*₁ عملکرد قارچ را از نظر شدت بیماری‌زاوی و سرعت رشد میسلیومی تحت تأثیر قرار می‌دهد، پروتئین‌های ABC transporter به عنوان



شکل ۴- A: منحنی ذوب حاصل از تکثیر توالی هدف در ژن *AbreAtr₁* در شش جدایه از قارچ *Alternaria brassicae* در واکنش تکثیر قطعه ۷۰ جفت بازی مربوط به تکثیر توالی هدف در ژن *AbreAtr₁* ب: جدایه a: *AbreAtr₁*, b: *H₂*, c: *H₈*, d: *K₅*, e: *K₁₀*, f: *K₄*, M: 50bpDNA Ladder, NTC (non template control): H_2O was used as negative control in PCR. جدایه *K₇* گرفته شده است.

Fig. 4. A: Melting curve of amplification of target sequence in *AbreAtr₁* gene in six isolate of *Alternaria brassicae* in Real time PCR. B: Amplification of a 70 bp fragment from amplification of target sequence in *AbreAtr₁*. a: *H₂*, b: *H₈*, c: *K₅*, d: *K₁₀*, e: *K₄*, f: *K₇*. M: 50bpDNA Ladder, NTC (non template control): H_2O was used as negative control in PCR.

جدول ۲. ضرایب همبستگی پرسون بین درصد بیماری‌زایی میزان رونویسی ژن *AbreAtr₁* سرعت رشد روزانه پرگنه در شش جدایه از قارچ *Alternaria brassicae*

Table 2. Correlation between amount of pathogenicity amount of *AbreAtr₁* transcription and daily growth rate in six isolates of *Alternaria brassicae*

Daily growth rate سرعت رشد روزانه	Amount of <i>AbreAtr₁</i> transcription میزان رونویسی ژن <i>AbreAtr₁</i>	Amount of pathogenicity شدت بیماری‌زایی	Amount of pathogenicity شدت بیماری‌زایی
0.824**	0.829**	1	Amount of <i>AbreAtr₁</i> transcription میزان رونویسی ژن <i>AbreAtr₁</i>
0.765**	1		Daily growth rate سرعت رشد روزانه
1			

**: معنی دار در سطح احتمال ۱٪

**: Significant at 1%

شود.

منابع

جهت ملاحظه به صفحات (83-84) متن انگلیسی مراجعه